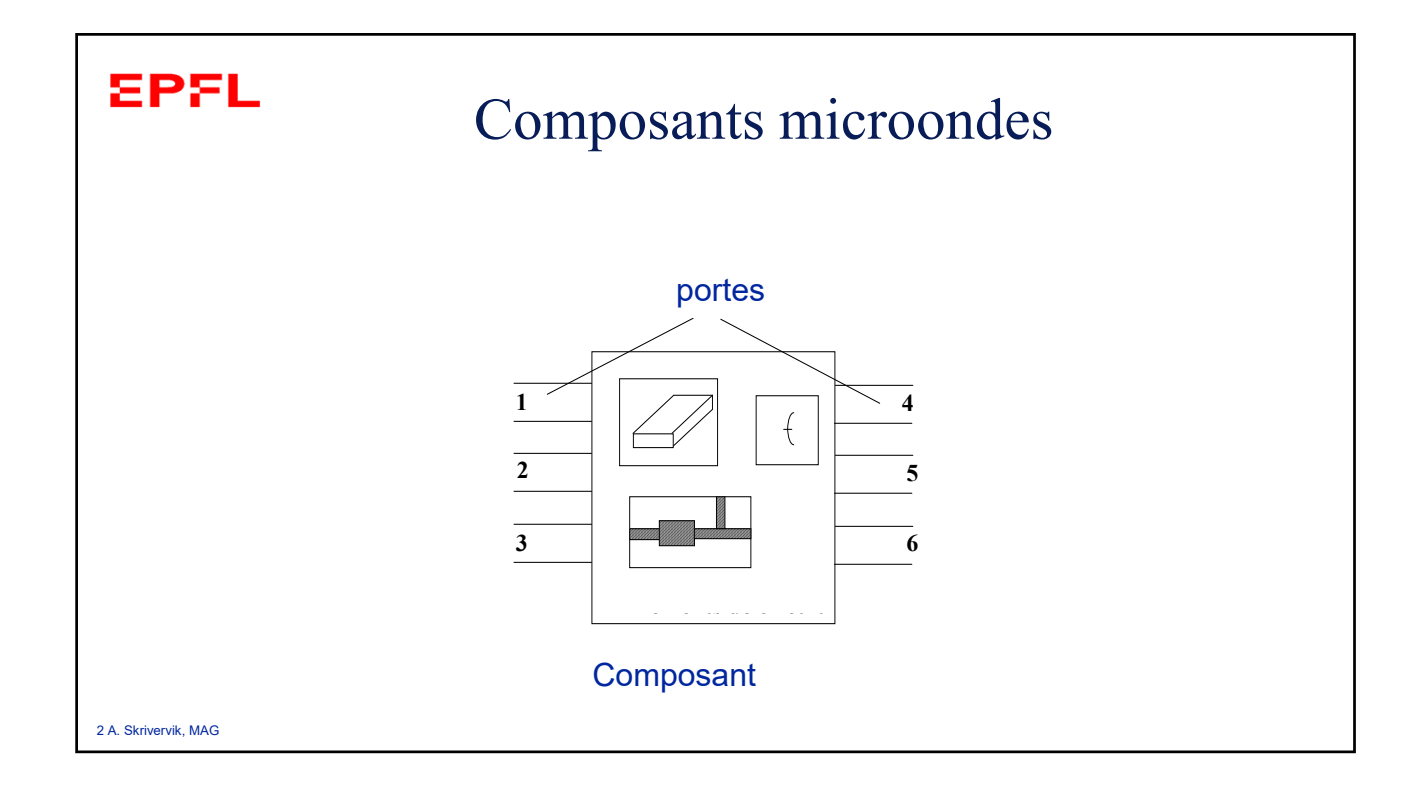
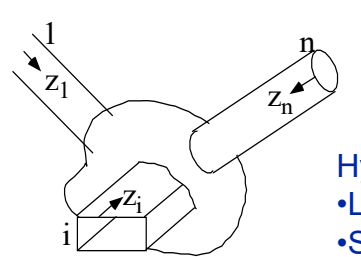
Caractérisation des circuits





Plans de références



On définit un axe de coordonnées zi sur chaque ligne de transmission menant à une porte. L'origine de cet axe est situé sur le plan de référence de la porte i.

Hypothèses:

- •Les lignes sont sans pertes
- •Seul le mode dominant se propage sur chaque ligne.
- •La porte est situé à distance suffisante des discontinuités pour assurer que les modes supérieurs sont atténués.

3 A. Skrivervik, MAG

EPFL

Modèles à disposition

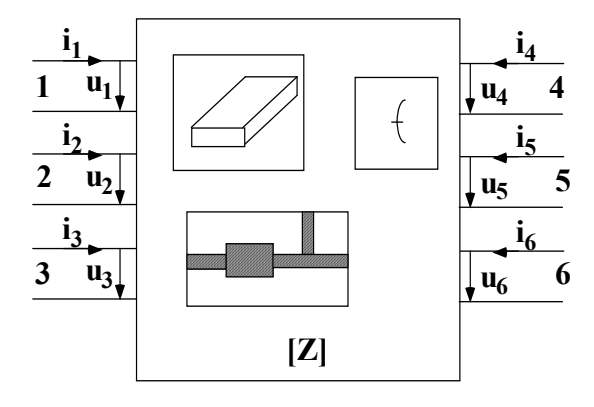
Kirchhoff

- Les courants et tensions ne sont pas définis de manière univoque pour un mode non-TEM
- Bien connu de la théorie des circuits basse fréquence
- Pas très bien adapté à une approche système

• Matrice de répartition (Paramètres S)

- Basé dur les signaux et les puissances
- Bien adapté aux microondes et circuits distribués
- Peu utilisé en basse fréquence
- Bien adapté à une approche système

Modèle de Kirchhoff



Courant, tension et impédances

5 A. Skrivervik, MAG

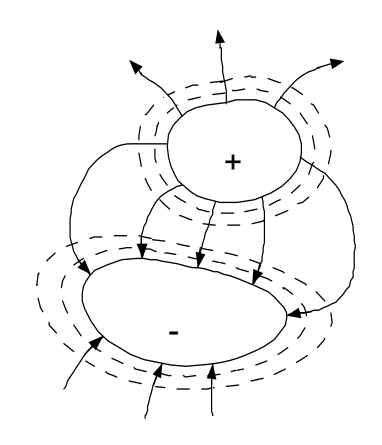
EPFL

Courant, tension et impédances

- Utilisation facile
- Les courants et tensions sont difficiles à mesurer en haute fréquence
- Le courant et la tension ne sont pas toujours définis de manière univoque



Exemple: Ligne TEM



$$\mathbf{E} = -\nabla V$$
$$V = \int_{+}^{-} \mathbf{E} \cdot \mathbf{dl}$$

$$I = \oint_{C^+} \mathbf{H} \cdot \mathbf{dl}$$

Impédance caractéristique

$$Z_c = \frac{V}{I} = \sqrt{\frac{L}{C}}$$

7 A. Skrivervik, MAG

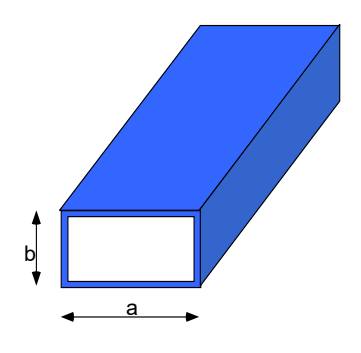
EPFL

Exemple: ligne TEM

- Définition univoque du courant et de la tension
- Les champs sont identiques aux champs statiques
- Fréquence de coupure nulle
- Nécessite au moins deux conducteurs distincts



Ligne non-TEM: Le guide rectangulaire



$$\mathbf{E} = -\nabla V - j\omega\mu\mathbf{A}$$

Exemple: mode TE10 d'un guide rectangulaire

$$E_{y}(x,y,z) = E_{0} \frac{j\omega\mu a}{\pi} \sin\frac{\pi x}{a} e^{-j\beta z} = E_{0} e_{y}(x,y) e^{-j\beta z}$$
$$H_{x}(x,y,z) = E_{0} \frac{j\beta a}{\pi} \sin\frac{\pi x}{a} e^{-j\beta z} = E_{0} h_{y}(x,y) e^{-j\beta z}$$

done

$$V = E_0 \frac{-j\omega\mu a}{\pi} \sin\frac{\pi x}{a} e^{-j\beta z} \int_{\mathcal{Y}} dy$$

9 A. Skrivervik, MAG

EPFL

Définition du courant et de la tension pour une ligne non TEM

- Définis pour chaque mode
- La tension est proportionnelle à l'amplitude du champ électrique transverse.
- Le courant est proportionnel à l'amplitude du champ magnétique transverse.
- L'impédance caractéristique est égale à U/I. On choisi le fait que cette impédance soit égale à l'impédance d'onde
- On décide que le flux de puissance soit donné par le produit de la tension par le complexe conjugué du courant.

Ligne arbitraire

$$\begin{split} \mathbf{E_{t}}(x,y,z) &= \mathbf{e_{t}}(x,y) \Big(E_{o}^{+} e^{-j\beta z} + E_{o}^{-} e^{j\beta z} \Big) & V(z) = V^{+} e^{-j\beta z} + V^{-} e^{j\beta z} \\ &= \frac{\mathbf{e_{t}}(x,y)}{C_{1}} \Big(V^{+} e^{-j\beta z} + V^{-} e^{j\beta z} \Big) & I(z) = I^{+} e^{-j\beta z} - I^{-} e^{j\beta z} \\ \mathbf{H_{t}}(x,y,z) &= \mathbf{h_{t}}(x,y) \Big(E_{o}^{+} e^{-j\beta z} - E_{o}^{-} e^{j\beta z} \Big) & Z_{c} = \frac{V^{+}}{I^{+}} = \frac{V^{-}}{I^{-}} = \frac{C_{1} E_{o}^{+}}{C_{2} E_{o}^{+}} = \frac{C_{1}}{C_{2}} \\ &= \frac{\mathbf{h_{t}}(x,y)}{C_{2}} \Big(I^{+} e^{-j\beta z} - I^{-} e^{j\beta z} \Big) & \frac{C_{1}}{C_{2}} = Z_{\text{mod}} \end{split}$$

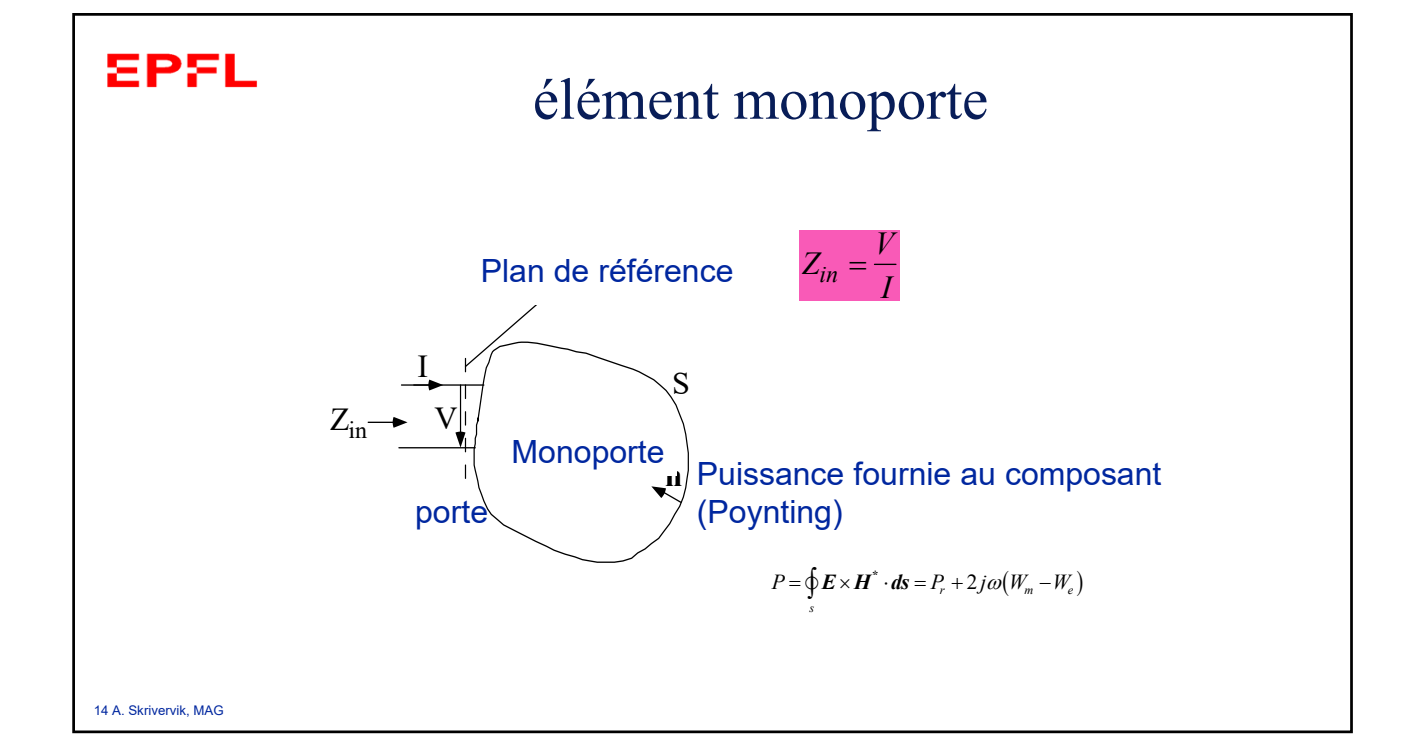
11 A. Skrivervik, MAG

EPFL

Différentes impédances

- Impédance du milieu: Z_o = √μ/ε
 Impédance d'onde: Z_{mod} = |E_t|/|H_t|
 Impédance caractéristique d'une ligne: Z_c = V⁺/I⁺ = V⁻/I⁻ = √L/C
- Matrice d'impédance d'un circuit

Matrice d'impédance



élément monoporte

Tension et courant:
$$\mathbf{E_{t}}(x,y,z) = V(z)\frac{\mathbf{e_{t}}(x,y)}{C_{l}}e^{-j\beta z}$$

$$\mathbf{H_{t}}(x,y,z) = I(z)\frac{\mathbf{h_{t}}(x,y)}{C_{2}}e^{-j\beta z}$$
 avec
$$\frac{1}{C_{l}C_{2}}\int_{s}\mathbf{e_{t}}\times\mathbf{h_{t}}\cdot\mathbf{ds} = 1 \quad \text{donc} \quad P = \frac{1}{C_{l}C_{2}}\int_{s}VI^{*}\mathbf{e_{t}}\times\mathbf{h_{t}}\cdot\mathbf{ds} = VI^{*}$$

$$\mathbf{et}$$

$$\mathbf{E_{t}}(x,y,z) = I(z)\frac{\mathbf{h_{t}}(x,y)}{C_{2}}e^{-j\beta z}$$

$$\mathbf{et}(x,y) = I(z)\frac{\mathbf{h_{t}}(x,y)}{C_{2}}e^{-j\beta z}$$

15 A. Skrivervik, MAG

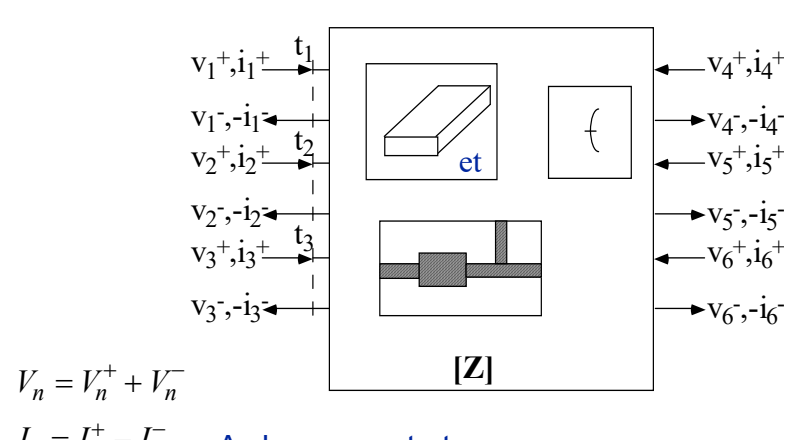
EPFL

élément monoporte

- R est proportionnel à la puissance réelle dissipée dans le système (pertes)
- X est proportionnel à l'énergie réactive moyenne stockée dans le système



Matrice d'impédance et d'admittance



 $I_n = I_n^+ - I_n^-$ A chaque porte t_i

17 A. Skrivervik, MAG

EPFL

Matrice d'impédance et d'admittance

$$[V] = [Z][I]$$

 $[I] = [Y][V]$

$$Z_{ij} = \frac{V_i}{I_j}\Big|_{I_k = 0 \text{ pour } k \neq j}$$

$$Y_{ij} = \frac{I_i}{V_j}\Big|_{V_k = 0 \text{ pour } k \neq j}$$

- La matrice d'impédance est obtenue en circuit ouvert
- La matrice d'admittance est obtenue en court-circuit

Propriétés des matrices d'impédance **EPFL** et d'admittance

• Réciprocité :
$$Y_{ij} = Y_{ji}$$

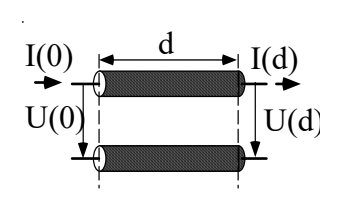
 $Z_{ij} = Z_{ji}$

• Circuit sans pertes:
$$\operatorname{Re}\{Z_{mn}\}=0$$

19 A. Skrivervik, MAG

EPFL

Exemple : Ligne de transmission

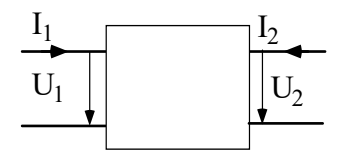


$$U_1 = U(0), I_1 = I(0),$$

 $U_2 = U(d), I_2 = -I(d)$

$$U(z) = U_{+} e^{-\gamma z} + U_{-} e^{+\gamma z}$$

$$I(z) = I_{+} e^{-\gamma z} + I_{-} e^{+\gamma z}$$

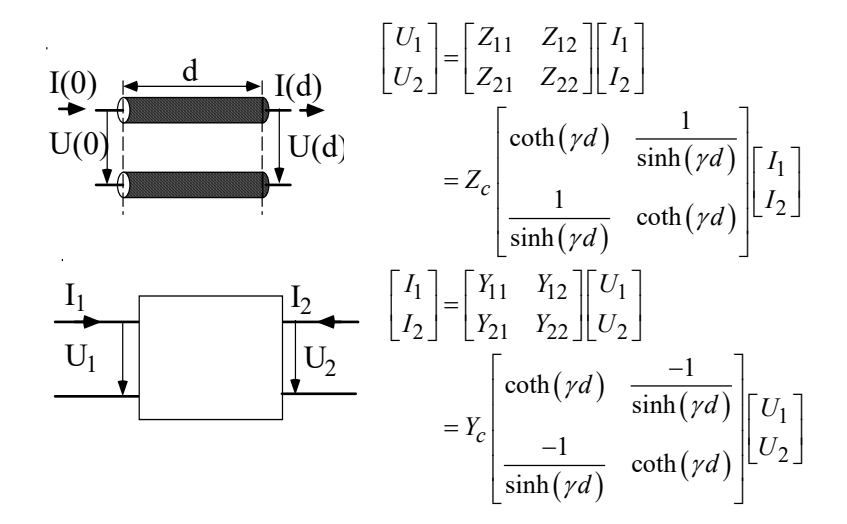


$$U(0) = U_{+} + U_{-} \quad U(d) = U_{+} e^{-\gamma d} + U_{-} e^{+\gamma d}$$
$$I(0) = I_{+} + I_{-} \qquad I(d) = I_{+} e^{-\gamma d} + I_{-} e^{+\gamma d}$$

$$I(0) = I_{+} + I_{-}$$
 $I(d) = I_{+} e^{-\gamma d} + I_{-} e^{+\gamma d}$



Exemple : Ligne de transmission

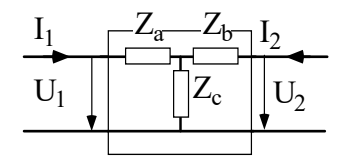


21 A. Skrivervik, MAG

EPFL

Circuit équivalent T d'un biporte

$$\begin{bmatrix} Z_{11} & Z_{12} \\ Z_{12} & Z_{22} \end{bmatrix}$$



$$Z_a = Z_{11} - Z_{12}$$

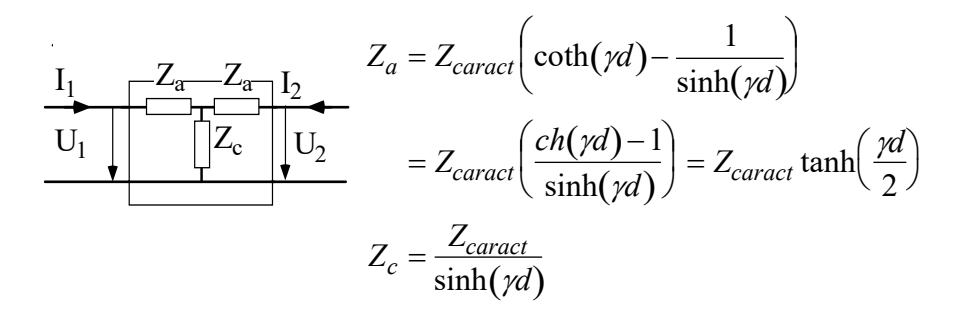
 $Z_b = Z_{22} - Z_{12}$
 $Z_c = Z_{12}$

$$Z_b = Z_{22} - Z_{12}$$

$$Z_c = Z_{12}$$



Circuit équivalent T d'un biporte

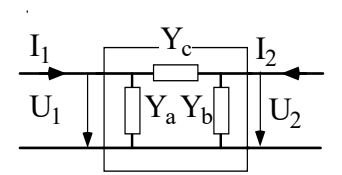


23 A. Skrivervik, MAG

EPFL

Circuit équivalent Π d'un biporte

$$\begin{bmatrix} Y_{11} & Y_{12} \\ Y_{12} & Y_{22} \end{bmatrix}$$



$$Y_a = Y_{11} + Y_{12}$$

$$Y_b = Y_{22} + Y_{12}$$

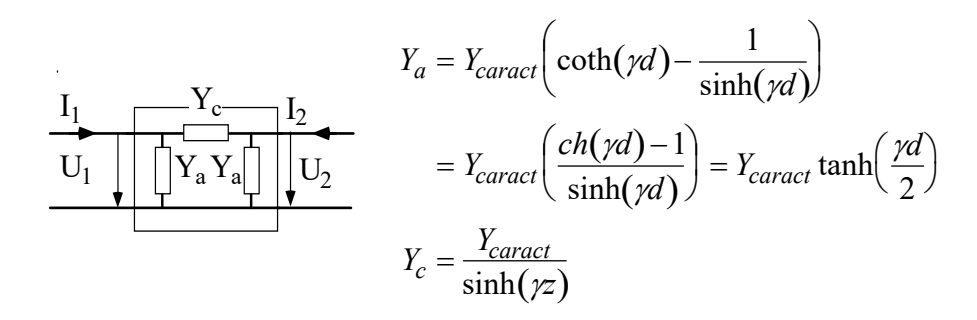
$$Y_c = -Y_{12}$$

$$Y_b = Y_{22} + Y_{12}$$

$$Y_c = -Y_{12}$$



Circuit équivalent Π d'un biporte



25 A. Skrivervik, MAG

EPFL

Matrice de répartition (paramètres S)

Amplitudes complexes normalisées

Amplitudes complexes normalisées

$$a_i = \frac{v_i + Z_{ci}i_i}{2\sqrt{Z_{ci}}}$$
 , $b_i = \frac{v_i - Z_{ci}i_i}{2\sqrt{Z_{ci}}}$ [W^{1/2}]

Relation inverse

$$v_i = \sqrt{Z_{ci}} \left(a_i + b_i \right) , \quad i_i = \frac{\left(a_i - b_i \right)}{\sqrt{Z_{ci}}}$$

27 A. Skrivervik, MAG

Amplitudes complexes normalisées : **EPFL** propriétés

Lignes de transmission

Lignes de transmission
$$v_i = v_i^+ e^{-j\beta z} + v_i^- e^{+j\beta z}$$

$$a_i = \frac{v_i^+}{\sqrt{Z_{ci}}} e^{-j\beta z}$$

$$b_i = \frac{v_i^-}{\sqrt{Z_{ci}}} e^{+j\beta z}$$

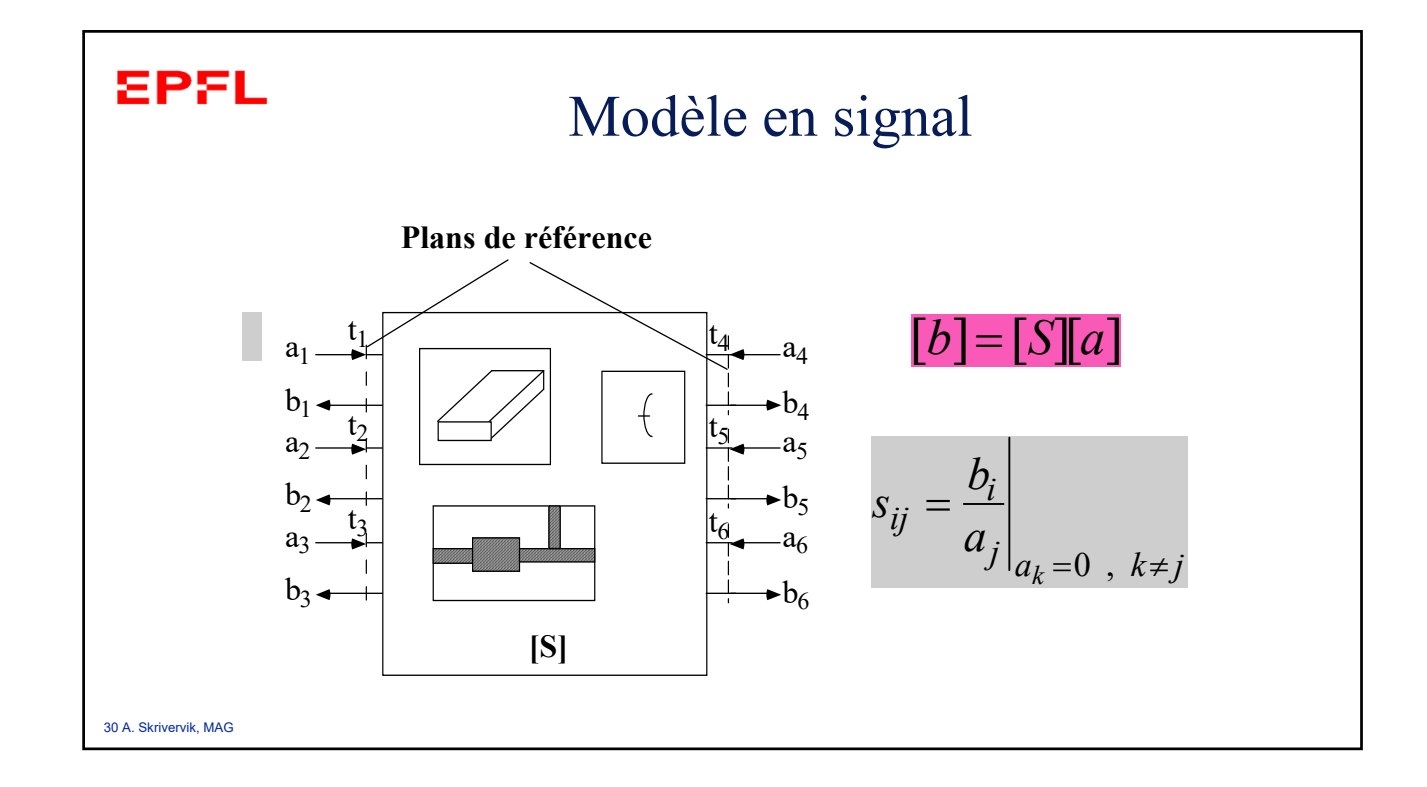
a_i : Onde progressive b_i : Onde retrograde



Puissance à une porte

$$P_i = \text{Re}[v_i i_i^*] = \text{Re}[(a_i + b_i)(a_i^* - b_i^*)] = |a_i|^2 - |b_i|^2$$

 $/a_i/^2$: puissance entrant dans la porte i $/b_i/^2$: Puissance sortant de la porte i



Matrice de répartition: définition

Amplitudes complexes normalisées Relation inverse

$$a_i = \frac{v_i + Z_{ci} i_i}{2\sqrt{Z_{ci}}} \ , \ b_i = \frac{v_i - Z_{ci} i_i}{2\sqrt{Z_{ci}}} \ v_i = \sqrt{Z_{ci}} \left(a_i + b_i\right) \ , \ i_i = \frac{\left(a_i - b_i\right)}{\sqrt{Z_{ci}}}$$

Matrice de répartition

$$[b] = [S][a] s_{ij} = \frac{b_i}{a_j} \bigg|_{a_k = 0, k \neq j}$$

31 A. Skrivervik, MAG

EPFL

Modèle en signal

- Avantages:
 - Les signaux sont liés à la puissance et donc mesurables
 - Adapté à une approche système (fonctions de transfert)
- Inconvénients:
 - Peu utilisé en basse fréquence

Matrice de répartition: propriétés

- Sij : fonction de transfert de la porte j à la porte i
- Dépend du composant et de ses propriétés
- Dépend aussi de l'impédance caractéristique de référence de la porte
- Changer les lignes de transmission connectant le circuit et donc le port change le paramètre S
- La matrice de répartition est obtenue en condition de charge adaptées

33 A. Skrivervik, MAG

EPFL

Reciprocité

Circuit passif, linéaire et isotrope



Le circuit est réciproque

$$z_{ij} = z_{ji}$$

$$\downarrow$$

$$S_{ij} = S_{ij}$$

34 A Skrivenvik MAG

Circuit sans pertes

$$\sum |a_i|^2 = \sum |b_i|^2 \longrightarrow \left[\tilde{a}\right] \left[a\right] - \left[\tilde{b}\right] \left[b\right] = 0 \quad \text{Avec } \left[\tilde{a}\right] = \left[a^*\right]^i$$
De plus
$$\begin{bmatrix} b \end{bmatrix} = \begin{bmatrix} S \end{bmatrix} \begin{bmatrix} a \end{bmatrix} \longrightarrow \begin{bmatrix} \tilde{a} \end{bmatrix} \begin{bmatrix} a \end{bmatrix} - \begin{bmatrix} \tilde{a} \end{bmatrix} \begin{bmatrix} \tilde{s} \end{bmatrix} \begin{bmatrix} S \end{bmatrix} \begin{bmatrix} a \end{bmatrix} = 0$$

$$\begin{bmatrix} \tilde{b} \end{bmatrix} = \begin{bmatrix} \tilde{a} \end{bmatrix} \begin{bmatrix} \tilde{S} \end{bmatrix} \begin{bmatrix}$$

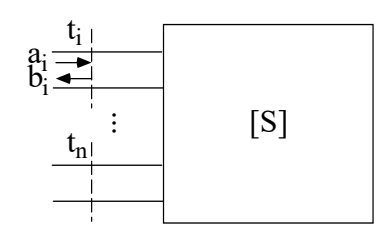
35 A. Skrivervik, MAG

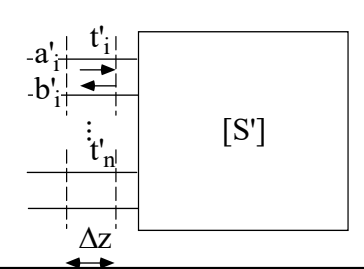
EPFL

Circuit adapté

Sii = 0

Changement de pan de référence





37 A. Skrivervik, MAG

EPFL

Changement de pan de référence

$$a'_i = a_i e^{-j\varphi_i}$$
 $b'_i = b_i e^{j\varphi_i}$
 $\varphi_i = -\beta_i \Delta z_i$
 $[a] = \begin{bmatrix} diag & e^{j\varphi} \end{bmatrix} a' \end{bmatrix}$
donc
 $s'_{ii} = s_{ii} e^{j2\varphi_i}$
Et en général

 $[b'] = \begin{bmatrix} diag \ e^{j\varphi} \end{bmatrix} b$

$$\varphi_{i} = -\beta_{i}\Delta z_{i}$$
 Et en général
$$[a] = \begin{bmatrix} diag \ e^{j\varphi} \end{bmatrix} a' \end{bmatrix}$$

$$[a'] = \begin{bmatrix} diag \ e^{-j\varphi} \end{bmatrix} a' \end{bmatrix}$$

$$[b] = \begin{bmatrix} diag \ e^{-j\varphi} \end{bmatrix} b' \end{bmatrix}$$

$$[b'] = \begin{bmatrix} diag \ e^{j\varphi} \end{bmatrix} b' \end{bmatrix}$$

$$[diag \ e^{j\varphi}] = \begin{bmatrix} e^{j\varphi_{1}} & 0 & \dots & 0 \\ 0 & e^{j\varphi_{2}} & \vdots \\ \vdots & & & & \\ 0 & \dots & & & \\ e^{j\varphi_{n}} \end{bmatrix}$$

Changement de pan de référence

$$[b'] = \left[diag e^{j\varphi} \right] [S] \left[diag e^{j\varphi} \right] [a']$$
$$[S'] = \left[diag e^{j\varphi} \right] [S] \left[diag e^{j\varphi} \right]$$
$$s'_{ij} = s_{ij} e^{j(\varphi_i + \varphi_j)}$$

39 A. Skrivervik, MAG

EPFL

Circuits passifs circuits : Propriétés à vérifier

- 1. Linéarité
- 2. Réciprocité
- 3. Présence de pertes
- 4. Adaptation
- 5. Symétrie

$$[S] - > [Z]$$

On définit deux matrices auxiliaires

$$[G] = [\operatorname{diag}(Zci)] \qquad [F] = [\operatorname{diag}(1/2\sqrt{Zci})]$$

Et on peut écrire

$$[\underline{a}] = [F] \{ [\underline{U}] + [G] [\underline{I}] \}$$
 $([\underline{a}] + [\underline{b}]) = 2 [F] [\underline{U}]$ $([\underline{a}] - [\underline{b}]) = 2 [F] [G] [\underline{I}]$

41 A. Skrivervik, MAG

EPFL

$$[S] \rightarrow [Z]$$

$$[\underline{a}] = [F] \{ [\underline{U}] + [G] [\underline{I}] \} \rightarrow [\underline{a}] = [F] \{ [\underline{Z}] + [G] \} [\underline{I}] \}$$

->
$$[I] = \{[Z] + [G]\}^{-1} [F]^{-1} [\underline{a}]$$

$$[\underline{b}] = [F] \{ [\underline{U}] - [G] [\underline{I}] \} \rightarrow [\underline{b}] = [F] \{ [\underline{Z}] - [G] \} [\underline{I}] \}$$

$$-> [\underline{b}] = [F] \{ [\underline{Z}] - [G] \} \{ [\underline{Z}] + [G] \}^{-1} [F]^{-1} [\underline{a}] = [\underline{S}] [\underline{a}]$$

Thus:
$$[S] = [F] \{ [Z] - [G] \} \{ [Z] + [G] \}^{-1} [F]^{-1}$$

A une dimmension, on obtient $\underline{\rho} = \underline{S}11 = (\underline{Z}t - Zc)/(\underline{Z}t + Zc)$

$$[Z]->[S]$$

$$([\underline{a}] + [\underline{b}]) = 2 [F] [\underline{U}] \rightarrow [\underline{U}] = (2 [F])^{-1} ([\underline{a}] + [\underline{b}]) = (2 [F])^{-1} ([1] + [\underline{S}]) [\underline{a}]$$

$$([\underline{a}] - [\underline{b}]) = 2 [F] [G] [\underline{I}] = ([1] - [\underline{S}]) [\underline{a}] -> [\underline{a}] = ([1] - [\underline{S}])^{-1} 2 [F] [G] [\underline{I}]$$

En regroupant, on obtient:

$$[U] = (2 [F])^{-1}([1] + [S])([1] - [S])^{-1} 2 [F] [G] [I] = [Z] [I]$$

Et on en tire: $[Z] = ([F])^{-1}([1] + [S])([1] - [S])^{-1}[F][G]$

Pour un monoporte, on obtient

$$\underline{Z}t = Zc(1 + \underline{r})/(1 - \underline{r})$$

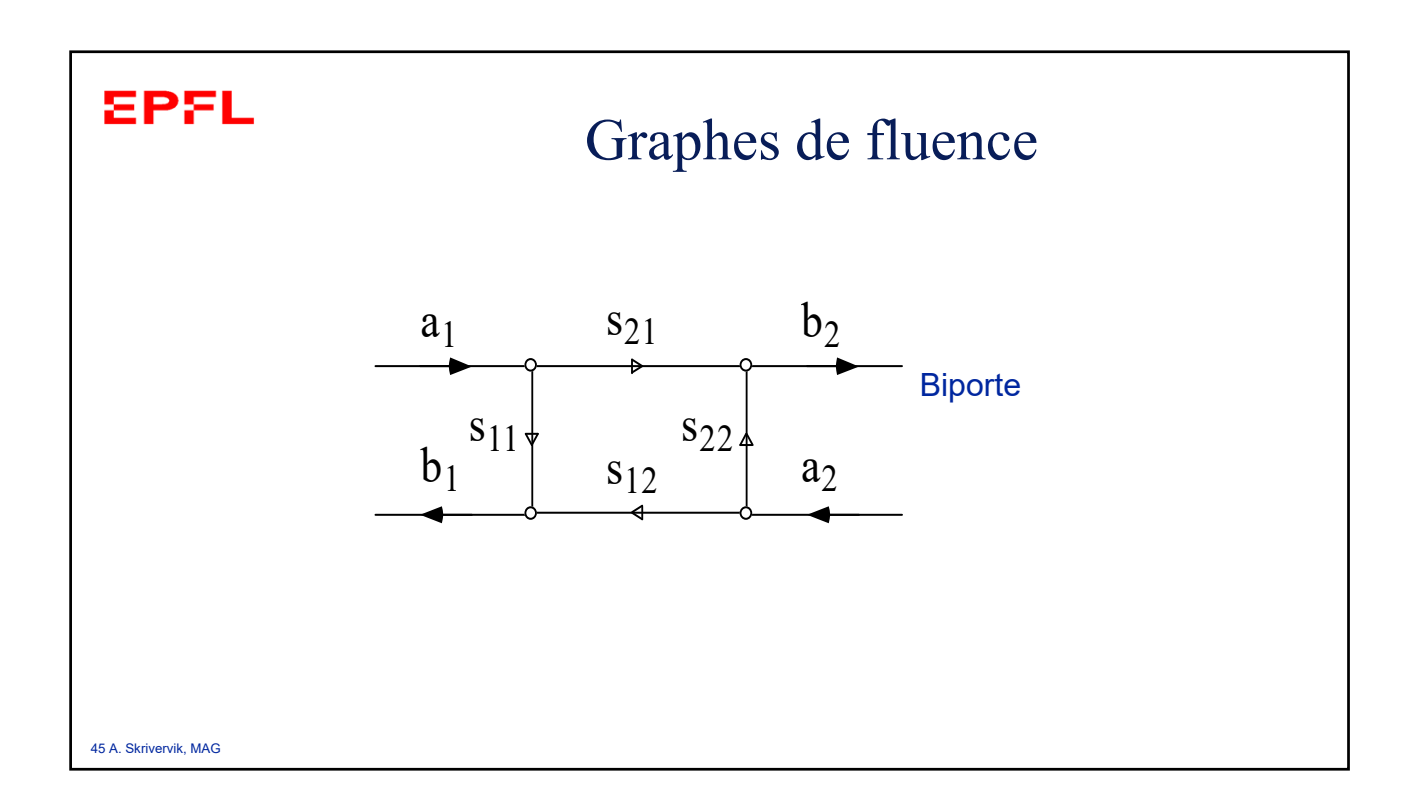
43 A. Skrivervik, MAG

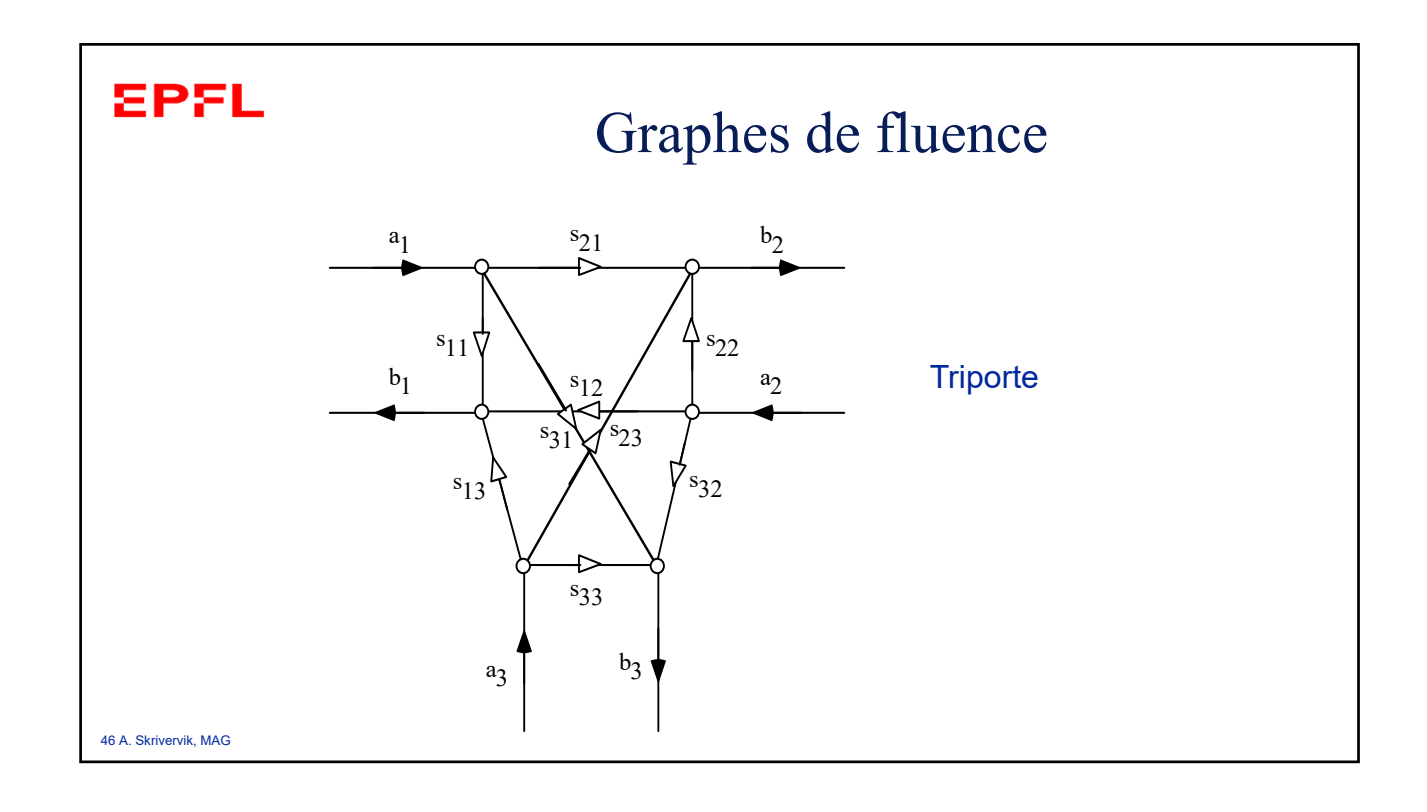
EPFL

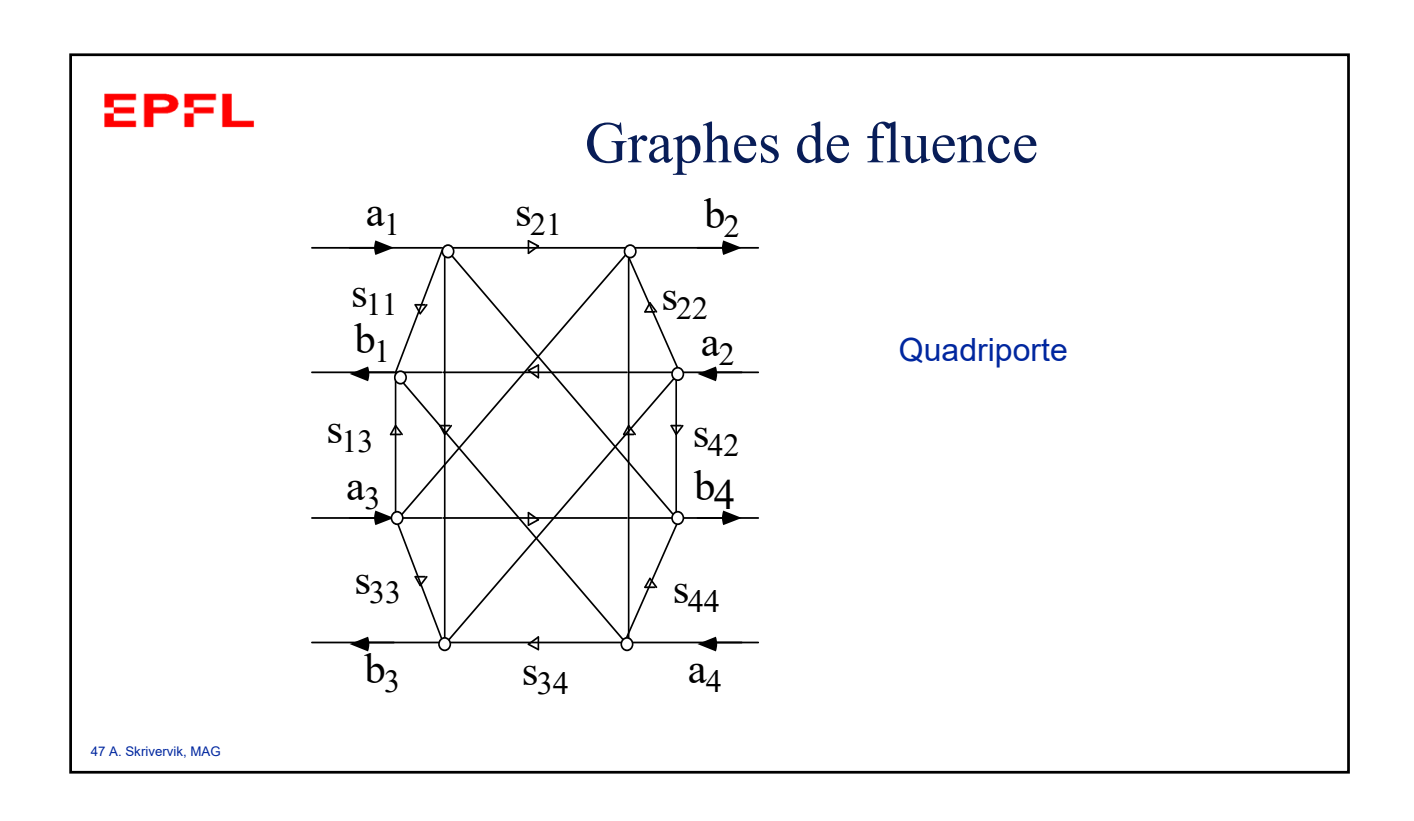
Graphes de fluence

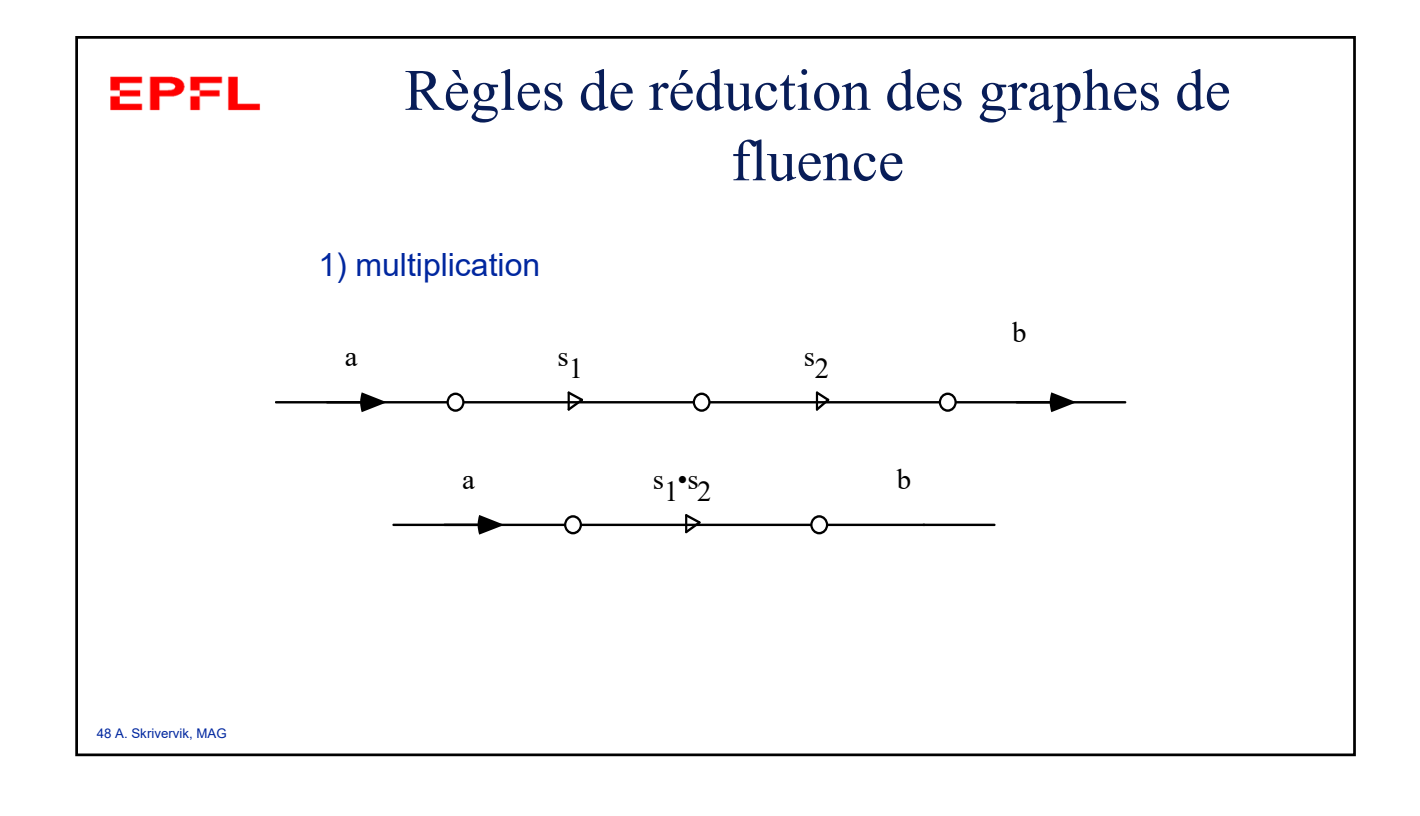
Les paramètres S (en réflexion ou en transmission) sont représentés par une flèche











Règles de réduction des graphes de fluence 2) addition s1 a b s2 AD A. Strivervik, MAG

